

Al - As

1955

V 122

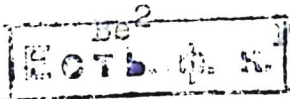
GaSb, GaAs, AlAs (Tm)

Köster H., Thoma B.,

Z. Metallkunde, 1955, 46, H 4, 291-293

Aufbau der Systeme Gallium-Antimon,  
Gallium-Arsen und ~~Aluminium~~ Aluminium  
-Arsen

Pl., 1956, 628



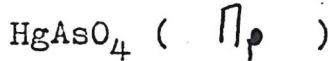
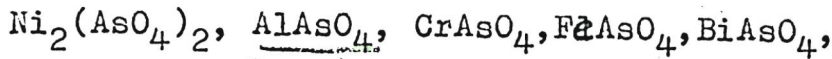
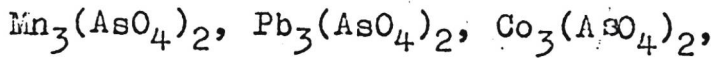
Be<sup>2</sup>

D

6874

V 5764

1956



Чухланцев В.Г.

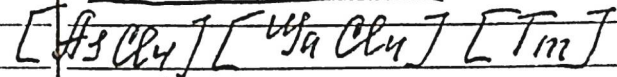
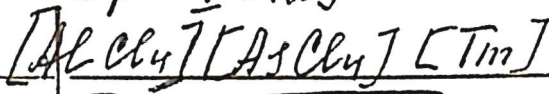
Ж.аналит.химии, 1956, II, № 5, 529-535

Произведение растворимости..

W

59 - V - 129

1958



~~Holditch L.~~, Schmidt W.

Z. anorg. allgem. Chem.

1958, 296, nr 1-b, 188-98

5



ЕСТБ №. 42

42

V 4018

1959

$\text{AlAsO}_4$  ( Ttr)

Sharan B.

Acta crystallogr., 1959, 12, N° 11,  
948-949

A new modification of aluminium  
orthoarsenate

PX., 1960, 37763

Be

F

AlAs

V-14017

1961

11Б267. Испарение арсенида алюминия. Hoch Michael, Hinge Kamalakar S. Vaporization of aluminum arsenide. «J. Chem. Phys.», 1961, 35, № 2, 451—453 (англ.).—Методом Кнудсена изучено испарение AlAs (1300—1600° К). Кол-во испарившегося в-ва определялось по потере веса эффузионной камеры. Близость к единице коэф. аккомодации доказана независимостью скорости испарения от площади эффузионного отверстия. Данные по давлению паров Al и As над AlAs представлены в таблице. AlAs при нагревании в вакууме разлагается по р-ции: AlAs(тв.) → → Al(газ) +  $\frac{1}{2}$ As<sub>2</sub>(газ). Для р-ции Al(тв.) + As(тв.) → → AlAs(тв.)  $\Delta H_{298}^{\circ} = -35,4 \pm 3,1$  ккал/моль.

В. Карелин

9.2.2.1962  
115267

Врп - 2116 - 1

V-1017

1961

AlAs

Vaporization of aluminum arsenide. Michael Hoch and Kamalakar S. Hinge (Univ. of Cincinnati, Cincinnati, Ohio). *J. Chem. Phys.* 35, 451-3(1961).—The Knudsen effusion method was used. The decompr. reaction is  $\text{AlAs}(s) \rightarrow \text{Al}(g) + \frac{1}{2}\text{As}_2(g)$ . For the reaction,  $\text{Al}(s) + \text{As}(s) \rightarrow \text{AlAs}(s)$ ,  $\Delta H_{298} = -35.4$  kcal./mole.

Henry Leidheiser, Jr.

p  
 $\Delta H_f$

Bip-7116-L

41658

1963

AlAs

11 В5. «Получение арсенида алюминия реакцией переноса в газовой фазе. Bolger D. E., Barry B. E. Preparation of aluminium arsenide by a vapour phase transport reaction. «Nature» (Engl.), 1963, 199, № 4900, 1287 (англ.)

Арсенид Al (*n*-типа, с числом носителей  $6 \cdot 10^{17} \text{ см}^{-3}$ , подвижностью  $\sim 100 \text{ см}^2/\text{в сек}$ , неустойчивый во влажном воздухе) осажден на подложке из арсенида галлия при взаимодействии паров As в токе  $\text{H}_2$  с Al, переводимым в газовую фазу при  $1000\text{--}1150^\circ$  по р-ции  $2\text{Al} + \text{AlCl}_3 \rightleftharpoons 3\text{AlCl}$ . Аналогичным образом получен фосфид алюминия.

B. Москинов

x·1964·II

V3425

1963

InSb, AlSb, GaSb, InAs, InP, GaAs, AlAs, AlP, GaP, BAs,

BP, BN ( $\theta_D$ )

Steigmeier E.F.,

Appl. Phys. Letters, 1963, 3(1), 6#8

Debye temperatures of III-V compounds

Be-Al est orig CA, 1963, 59, №5, 459

Б9-2-4579

1984

Al As

) 1 B14. Об арсениде алюминия. Kischio W. Über  
Aluminiumarsenid. «Z. anorgan. und allgem. Chem.»,  
1964, 328, № 3—4, 187—193 (нем., рез. англ.)

Предложены 2 метода получения спектрально чистого AlAs (I). По 1-му методу Al нагревали в корундовой лодочке до  $1100^{\circ}$  в токе  $H_2$ , в печь вдвигали такую же лодочку с As, который испарялся, переносился водородом над расплавленным Al и частично взаимодействовал с ним. После полного испарения As продукт р-ции охлаждали в токе  $H_2$ , смешивали его с 1,2-дибромэтаном и нагревали, поддерживая т-ру  $\leq 100^{\circ}$  (охлаждение водой). Оранжевые кристаллы I, полученные в результате р-ции, промывали безводн. ацетоном и бензином. По 2-му методу Al в корундовой лодочке помещали вместе с As в кварцевую трубку, которую эвакуиро-

x. 1966. 1

вали и запаивали. Часть трубки, в которой находился Al, нагревали до  $1100^{\circ}$ , а другую ее часть — до  $600^{\circ}$ . Через 1 час р-цию заканчивали и выделение I проводили по методу, изложенному выше. Кристаллы I устойчивы в отсутствие влаги, но в ее присутствии медленно разрушаются на воздухе с образованием  $\text{AsH}_3$  и  $\text{Al(OH)}_3$ . Воды к-ты разрушают I с образованием  $\text{AsH}_3$ , но в дымящей  $\text{HNO}_3$  при т-ре кипения I устойчив. Хлор под давл. 1 атм взаимодействует с I при  $500^{\circ}$ , а под давл. 7 атм — при  $\sim 20^{\circ}$ . Р-ция I с бромом протекает при  $\sim 450^{\circ}$ , а с  $\text{HCl}$  при  $500—550^{\circ}$ . Аммиак реагирует с мелкоизмельченным I при т-ре  $> 800^{\circ}$ , а  $\text{N}_2$  — при  $1200^{\circ}$ , причем в обоих случаях образуется  $\text{AlN}$ . Для I определен параметр решетки  $a = 5,660 \text{ \AA}$ , а также энталпия образования  $\Delta H = -27,8 \pm 0,05 \text{ ккал/моль}$ . Установлено, что

макс. т. пл. I при давл. As 1 атм составляет  $1740 \pm 20$ , а ширина запрещенной зоны при т-ре  $\sim 20^{\circ} E = 2,13 \text{ эв}$ .

О. Голубев

BD-1A-4579

1964

AlAs

ΔH<sub>f</sub>

T<sub>m</sub>.

Aluminum arsenide. W. Kischio (Philips Zentrallab. G.m.b.H., Aachen, Ger.). *Z. Anorg. Allgem. Chem.* 328(3-4), 187-93(1964). High-purity crystals of AlAs can be prepd. by conducting an As-satd. stream of H over molten Al metal kept at about 1100°. An alternate method consists of heating 40 g. Al to 1100° and 30.8 g. As to 600° in one previously evacuated quartz tube. The orange colored crystals of AlAs formed in both reactions are isolated from unreacted Al by dissolving the excess metal in 1,2-dibromoethane. Aq. acids decomp. AlAs easily with AsH<sub>3</sub> formation, but the compd. is not attacked by concd., boiling HNO<sub>3</sub>. AlAs can be recrystd. from liquid metals such as Al, Ga, and Sn. The heat of formation of AlAs was  $-27.8 \pm 0.5$  kcal./mole, somewhat lower than a previously published value of  $-35.4 \pm 3.1$  kcal./mole (Hoch and Hinge, CA 56, 4165b). The m.p. of AlAs is pressure dependent and reaches a max. of  $1740 \pm 20^\circ$  at an As pressure of 1 atm. The band gap of AlAs was detd. by remission at 22 and  $-170^\circ$ . Assuming that the band gap of AlAs changes linearly with increasing temps. the compd. should find extensive use as a high-temp. semiconductor.

Ernst M. Goldstein

C.A. 1964 Cl N2 1494c

ЛР; Уар; Жир; AlAs; УаAs; ЖиAs; АРВ; Уадо  
Жиэв (Анти, АНз, АНф) 5219 1965

Гололобов Я.М.,

Вестник АН ЕССР, Сер. Физ-мат науки, 1965, //I//, II-  
19.

Определение основных данных по результатам  
рентгено-дифракционного анализа и определение теплос-  
атомизации и эффективных зарядов соединений  $A^{III}B^{IV}$

Б

М.Б

—Ф

СА, 1966, 64, №1, 48с

1965

Heats of atomization and formation for compounds  $A^{III}B^V$  from experimental data on electron density distribution. N. N. Sirota and E. M. Gololobov. *Khim. Svyaz v Poluprov. i Tverd.*

Telakh, Inst. Fiz. Tverd. Tela i Poluprov., Akad. Nauk Belorussk. SSR 1965, 93-6(Russ). The heats of atomization and formation for antimonides and arsenides of Al, Ga, and In were calcd. from the diagrams of the electron d. distribution obtained from x-ray analysis for 20 and  $-100^\circ$ , assuming that energy of interaction between the atoms is a sum of 3 terms describing the Coulombic interaction, change of kinetic energy of electrons, and change of the exchange energy of overlapping.

Barbara A. Grzybowska

+2

C.A. 1966. 64.5  
5827h-5828a

18

1966

AlAs

✓ 4 Б579. О взаимодействии германия с арсенидом алюминия. Глазов В. М., Крестовников А. Н., Малютина Г. Л. «Изв. АН СССР. Неорганические материалы», 1966, 2, № 9, 1695—1697

С помощью термич. метода анализа с послед. обработкой данных по линии ликвидуса в соответствии с ур-нием Шредера — Вант Гоффа изучено взаимодействие Ge с AlAs. Образцы сплавов системы Ge—AlAs (30—90 ат. % Ge) получены сплавлением Ge, Al и As при 1000—1100° в графитизированных кварцевых ампулах (вакуум  $10^{-3}$  ми) и закалены в воде. При р-рении AlAs в Ge образуются р-ры, отличающиеся от идеальных; AlAs в р-рах практически не диссоциирует. Эвтектика Ge+AlAs расположена при 735° и  $\sim 40$  мол. % AlAs. Л. Шведов

Х 1967 . Ч

BP; BAS, AEP; AlAs, GaP, CuF, CuJ ( $\beta^\circ$ )

BP V-5253 1966

Шарифов К. А.,

Ж. Физ. химии, 1966, 40, №1, 218- 220

О расчете энтропии твердых веществ.

РЖХ, 1966

Б

Ф

AFP

Cox R. M., Pool M. J. [1987]

J. Chem. and Engng Data,  
12, n<sup>o</sup> 2, 247.

1986-545-08  
AFP

Температурные и магнитные  
изменения содержания III-IV  
групп.

(ав. InSb)

*Al As*

ВР-6274-У

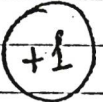
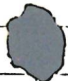
1968

8 Б518. Химическое равновесие в газовой фазе в системе AlAs—Х. (где Х — йод или хлор). Воронин В. А., Сандурова А. В. «Сб. тр. по полупроводник. материалам, приборам и их применению». Воронеж, 1968, 65—75.

Для правильного выбора условий выращивания моноцисталлов AlAs исследуется равновесие в системе AlAs—Х (Х—J, Cl). Теоретически и экспериментально показано, что Cl гораздо слабее проявляет транспортные св-ва, нежели J. Чтобы использовать транспорт хлором, необходимо выдерживать источник Al, по крайней мере, при 1300° (в случае J — 1100°), что приводит к разрушению контейнера вследствие высокой р-ционной способности.

*Kр*

Х. 1969. 8



Al и его моногалоидов в паровой фазе. Основное внимание уделено переносу в системе AlAs—J. Рассматриваются все возможные р-ции в системе. Рассчитывается и измеряется общее давление в системе в интервале т-р 1100—1500° К и вычисляются парц. давл. компонентов в газовой фазе. Суммарная р-ция записывается ур-нием  $2\text{AlAs(тв.)} + \text{AlJ}_3(\text{газ.}) \rightleftharpoons 3\text{AlJ(газ.)} + 1/2\text{As}_4(\text{газ.})$ , а константа равновесия —  $\lg K_p = -33820/T + 22,8$ .

А. С. Борщевский

*Al As*

BQ-6274-IV

1968

71477h Chemical equilibrium in the gas phase of the AlAs-X system (where X is iodine or chlorine). Voronin, V. A.; Sandulova, A. V. (USSR). Sb. Tr. Poluprovod. Mater., Prib. Ikh Primen. 1968, 65-75 (Russ). From Ref. Zh., Khim. 1969, Abstr. No. 8B518. Equil. in the AlAs-X system (X = I or Cl) was studied for correct selection of conditions for growing single crystals. Theoretical and exptl. observation showed that the display of transport properties by Cl was much weaker than that by I. To utilize the Cl transport, it is necessary to contain the Al source at least at 1300° (for I, 1100°), which led to the destruction of the vessel because of the high reaction power of Al and its monohalogens in the vapor phase. Basic consideration was given to transfer in the AlAs-I system. Various reactions were studied in the system. Total pressure was calcd. and measured in the system at 1100-1500°K, and partial pressures of components were computed in the gas phase. The overall reaction is  $2\text{AlAs}(s) + \text{AlI}_3(g) \rightleftharpoons 3\text{AlI}(g) + 1/2 \text{As}_4(g)$ , and the equil. const., as a function of temp.,  $\log K_p = -33,820/T + 22.8$ .

NBRK

C.A: 1970. 72. 14

AAS

Маринеа И.И.  
и. гр.

1969

Cp

Мур. сбзг. крест.,  
1969, 232-8.

S

Мзг-бо "Кауна и-  
Терн.", Литва

1 Mat.

(Coll. BN) I

Al As

Марина Н.Н.  
Гавриловский № 2

1969

Mc. opus. Neeleman,  
431 7), 1723.

D<sub>0</sub>

S

Cp

(Mc. BN) I

XV-8'789

1969

AlAsO<sub>4</sub>

11 Б1359. Исследование полиморфизма  $\text{AlAsO}_4$  при пиролизе мэнсфилдита стехиометрического,  $\text{AlAsO}_4 \cdot 2\text{H}_2\text{O}$ , и нестехиометрического,  $\text{Al}_{1-x}\text{H}_{3x}\text{AsO}_4 \cdot 2\text{H}_2\text{O}$ . Ronis Michel, D'Yvoire Ferdinand. Mise en évidence du polymorphisme de  $\text{AlAsO}_4$  au cours de la thermolyse de mansfieldite stoechiométrique,  $\text{AlAsO}_4 \cdot 2\text{H}_2\text{O}$  et non stoechiométrique,  $\text{Al}_{1-x}\text{H}_{3x}\text{AsO}_4 \cdot 2\text{H}_2\text{O}$ . «С. г. Acad. sci.», 1969, C269, № 22, 1388—1390 (франц.)

Описывается получение мэнсфилдита состава  $\text{Al}_{1-x}\text{H}_{3x}\text{AsO}_4 \cdot 2\text{H}_2\text{O}$  с отношением  $\text{Al} : \text{AsR} = 0,95 - 1$ . Изменение  $x$  сопровождается небольшим изменением параметров решетки. При  $R=1$ :  $a = 10,08$ ;  $b = 9,79$ ;  $c = 8,78\text{\AA}$ ; при  $R=0,95$ :  $a = 10,08\text{\AA}$ ;  $b = 9,81\text{\AA}$ ;  $c = 8,79\text{\AA}$ . Рентгенографич. анализ продуктов пиролиза показал, что  $\text{AlAsO}_4$  (I) существует в 4 модификациях. Модификация А об-

Крист.

спир-ра

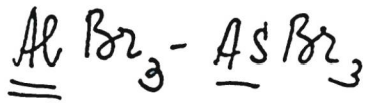
Tz

X. 1970

11

разуется при т-ре  $\sim 200^\circ$  и связана с дегидратацией мэн-сфилдита. Во влажной атмосфере при коми. т-ре А-модификация регидратирует в течение нескольких недель. Три другие модификации соотв. изоморфны модификациям  $\text{SiO}_2$ : тридимиту, кристобалиту и кварцу, I-кристобалит имеет параметры решетки  $a = 7,16$ ;  $b = 7,15$ ;  $c = 7,11\text{\AA}$ . I-кварц имеет параметры:  $a = 5,03$ ;  $c = 11,23\text{\AA}$ .

М. Г. Лифшиц



Суборов А.В.  
и гр.

1969

$\Delta H_{\text{диссо}}$

Н. С. Кеоргак. Женеве,  
14(5), 1374.



(ал.  $\text{AlBr}_3 \cdot \text{PBr}_3$ ) $\bar{I}$

Alts

annalen 8-1576

1970

Phillips J. Ch.

Van Vechten J. A.

(4Hf)

Chem. Phys. Lett

1970, 5 nr 3, 159-61

Holl

1970

Phillips y. Ch.  
van Verchten y. d.

AHF

Phys. Rev. B., 1970,

[3], 2, 6, 2147.

(Ceo. BN) I

AlAs

Foster G. M.

1972

et al

J. Electrochem. Soc.

1972, 119, N6, 765-766

(IV)

BaP - 876 - XV

T<sub>m</sub>

1770 °C

X-1972-22



(Cu, Ga As) I

1973

Al<sub>2</sub>As

46961y Lindemann-Gilvarry melting law and Debye temperatures of some cubic semiconductors. Aggarwal, M. D.; Raju, V.; Verma, J. K. D. (Saha Inst. Nucl. Phys., Calcutta, India). *Rev. Roum. Phys.* 1973, 18(1), 89-91 (Eng). The Debye temps. of AlAs, AlP, and BP, predicted by the Lindemann-Gilvarry melting law (1910 and 1956, resp.), are 455, 648, and between 977 and 1173°K, resp., in good agreement to those (417, 588, and 985°K) predicted from lattice const. data. The differences may be attributed to the uncertainty in the value of the m.p. of these comnds.

Tobedag

AlP

BP.

+2

18

C.A. 1973. 79 n 8

AlAs

1973.

Krestovnikov, A. N.; Ufimtsev, V. B.;

Bgorkin, V. V.

Zh. Fiz. Khim. 1973, 47(3), 543-7.

ΔH<sub>f</sub>

ΔG<sub>f</sub>

ΔS<sub>m</sub>

(cui. AlN; I)

~~St. Ss~~

XV - 1653

1974

Martosudirdjo S., Pratt J.N.

Thermochim. Acta, 1974,

10, (I), 23-31.

$\Delta H_f^\circ$

298



(ew Alp; T)

AlP, AlAs, AlSb, GaP, GaAs,  
GaSb, InP, InAs, InSb (кр).

Ротенберг В. А., Кузнецов Г. М.,  
Чурган Л. С.,

Ж. приз. химии, 1974, 48 (2),  
453-5.

Периодическая химическая оценка термич-  
еской устойчивости соединений  
 $A'''B^V$  в жидкой фазе при температуре  
плавления,

С. А. 1974. 81 N 10. 55031 р.

Al As

эмиссия 5573

1975

Горбов С.И.

m.g. ch. fa

(Итоги науки и техн.  
викимедии АН СССР)  
ч., 1975, 150 с, ил. 92



(авт ВР; I)

AlAs

1976

Piacentini V., et al.

Dyn. Mass. Spectrom. 1976,  
4, 295-304

Agnew

H<sub>T</sub>-H<sub>O</sub>, AF

C.A. 1976 85

N18

131496

Mass. spectr. study of groups  
IIIB and ~~V~~ VB compounds.  
The dissociation energy of the  
ACAs and sup.

61102.6637

TC, Ch, Ph

Al<sub>2</sub>As (96201  
4Hf)

1976

43-14871

Joshi D.S.

Valence band splittings and heats of formation of A(III)B(V) semiconducting compounds.

"Chem. Phys. Lett.", 1976, 42, N 2,  
350-352 (англ.)

(See AEP T)  
U738

НЕК

706 707 730

ВИНИТИ

Mt S<sub>(H)</sub>

1977

Bairu Y, et al.

298-2013

moer II, cup. 37



(ccw stg) I

Altas

1974

Hillel R; et al.

(56)

J. Cryst. Growth,

1974, 38, 67-72

(see.  $\text{YnAl}_3$ ; II)

AlAs

1978

Konyaeva, A.G.

Zh. Fiz. Khim. 1978,  
52(2), 419-20.

28

all. ZnS-~~SE~~ I

*Al<sub>5</sub>AsO<sub>10</sub>*

20 Б888 Деп. Условия образования арсенатов алюминия и их термическая устойчивость. Махметов М. Ж., Горохова Л. Г., Емелина А. В. Редкол. ж. «Изв. вузов. Химия и хим. технол.» Иваново, 1979, 8 с., ил., библиогр. 9 назв. (Рукопись деп. в ОНИИТЭХИМ г. Черкассы 21 июня 1979 г., № 2777/79 Деп.)

*Tet*

Методами ДТА, рентгенофазовым и хим. анализами проведено исследование взаимодействия  $\beta$ -байерита, гидрагиллита и  $\alpha$ -глиноzemа с оксидами мышьяка ( $3+$ ,  $5+$ ) в молярных отношениях  $Al_2O_3 : As_2O_3$ ,  $As_2O_5 = 1 : 2$ ,  $1 : 1$ ,  $1.5 : 1.2 : 1$ ,  $3 : 1$  и определена термическая устойчивость арсенатов алюминия до  $1000^\circ$ . Установлено, что  $\beta$ -байерит, гидрагиллит и  $\alpha$ -глиноzem с мышьяковым ангидридом взаимодействуют с образованием ортоарсената алюминия. Гидрагиллит и  $\beta$ -байерит с мышьяковистым ангидридом образует арсенат алюминия с эмпирической формулой  $Al_5AsO_{10}$  вследствие р-шни диспропорционирования. Синтез различных арсенатов алюминия показал, что при повышенных температурах ( $500$ – $600^\circ$ ) в виде индивидуальных соединений существует только ортоарсенат алюминия, последний термически устойчив в интервале температур  $0$ – $1000^\circ$ .

Автореферат

*Р.1979 N20*

# $\text{Al}(\text{CH}_3)_2 \text{Cl} \cdot \text{As}(\text{CH}_3)_3$

1979

9 Б691. Энталпии смешения алкильных соединений алюминия с некоторыми галогенидами металлов. Цветков В. Г., Куприянов В. Ф., Фукин К. К., Фролов И. А. «Ж. общ. химии», 1979, № 1, 7–10

( $T_m$ )

В вакуумном адиабатич. калориметре определены энталпии смешения бинарных систем, составившие для указанных соотношений компонентов соотв. ккал/моль:  $\text{AlMe}_3$  (I) +  $\text{GaCl}_3$  —33,4, I+ $\text{GaCl}_2\text{Me}$  —18,4, I+ $\text{GaClMe}_2$  —7,4, I+ $\text{GaMe}_3$  —0,43,  $\text{AlMe}_2\text{Cl}$  (II) +  $\text{GaCl}_3$  —20,0, II+ $\text{GaCl}_2\text{Me}$  —13,3, II+ $\text{GaClMe}_2$  —6,4, II+ $\text{GaMe}_3$  —1,3 (все при 333 К);  $\text{GaMe}_3$ +2 $\text{GaCl}_3$  —32,0,  $\text{GaCl}_3$ +2 $\text{GaMe}_3$  —37,5 (при 353 К); II+ $\text{CdMe}_2$  —5,4, II+ $\text{AsMe}_3$  —9,4 (при 298 К; в обоих случаях образуются тв. комплексы, т. пл. II· $\text{AsMe}_3$  равна 314+1 К). Отмечено, что значит уменьшения энталпии при смешении обусловлены образованием алкилгалогенидов и комплексообразованием. Установлено, что энталпии взаимодействия алкильных и галоидных соединений Al и Ga зависят от соотношения кол-в атомов Cl и алкильных радикалов в смешиваемых компонентах. А. Б. Кисилевский

2.1940/19

AlAsDy

1980

Kosten K. et al

Z. Kristallogr., 1980, 152,  
N 1-2, 119-33

$\frac{T_m}{T_{tr}}$



Cu BPO<sub>4</sub> ;<sup>i</sup>

Al-арсенамо

1980

Shigematsu Koki,  
Kubo Jinichiro.

Kp

Nippon Kogyo Kaishi  
1980, 96 (111), 623-8, 646.

(cell.  $\text{As}_2\text{O}_5$  ; 111)

Alffs

lom. 19753/

1982

Terpilowski J., Ratajczak E.,  
et al.,

$\Delta H_f, S$ ;  
Polish J. Chem. (Formerly  
Roczniki Chemii), 1982,  
56, 627-639.

AlAs

04. 10492

1983

| 98: 205291r Study of the vaporization of solid aluminum  
arsenide. Imperatori, P.; Ferro, D.; Piacente, V. (Ist. Chim. Fis.,  
Univ. Rome, 00185 Rome, Italy). *J. Less-Common Met.* 1983,  
90(1), 57-63 (Eng). The vaporization of solid AlAs [22831-42-1]

was studied by using the mass spectrometry and Knudsen effusion  
techniques. This compd. vaporizes according to the reaction:  $\text{AlAs(s)} \rightarrow \text{Al(s)} + 1/2\text{As}_2\text{(g)}$  where P is in kPa. A heat value of  $163 \pm 7$   
kJ/mol, assocd. with the vaporization reaction, was derived by  
2nd-law treatment of the pressure data. The free-energy function  
and the std. heat of formation of  $\text{AlAs(s)}$  were calcd.

$\Delta_f H, \Delta_f f_j$

C.A. 1983, 98, N24

*AlAs*

*004. 16492*

*1983*

16 Б808. Изучение испарения твердого AlAs. Study of the vaporization of solid AlAs. *Инженер-Практик* P., Ferro D., Piacente V. «J. Less-Common Metals», 1983, 90, № 1, 57—63 (англ.)

С помощью эффициентного метода Кнудсена и масс-спектрометрии изучено испарение тв. AlAs (I). Установлено, что испарение сопровождается хим. разл. I в соответствии с р-цией  $I(\text{тв.}) \rightarrow \text{Al}(\text{ж.}) + 1/2\text{As}_2(\text{газ.})$ , причем в газ. фазе обнаружены незначит. кол-ва  $\text{As}_2^+$ ,  $\text{As}^+$  и  $\text{Al}^+$ . По масс-спектрометрич. данным, давл.  $\text{As}_2(\text{газ.})$  над I (тв.) в интервале 1277—1393 К описывается ур-нием  $\lg P = (8,36 \pm 0,26) - (16815 \pm 353)/T$  (P, кПа). По измерениям методом Кнудсена, давл.  $\text{As}_2(\text{газ.})$  над I (тв.) описывается ур-ием  $\lg P = (9,81 \pm 0,18) - (17540 \pm 246)/T$  (P, кПа). Эти данные хорошо согласуются и объединены общим ур-ием  $\lg P = (9,0 \pm 0,5) - (17,2 \pm 0,4) \cdot 10^3/T$ . Рассчитаны станд. теплота испарения I ( $163 \pm 7$  кДж/моль) и станд. теплота образования I (тв.) ( $62 \pm 7$  кДж/моль). Л. Г. Титов

*P, Kp, DfMv,*

*DfF;*

*X. 1983, 19, N 16*

ALASKA

Lm. 19583

1983

Руководство Б. Г., Узареев -  
Сербенев В. И. и др.,

ЛГБ;

УЗб. Акад. Наук Грузии. ССР,  
1983, 9, № 1, 48 -

AlAs

OM. 21121?

1984

Arsara J., Dutartre D.,

CALPHAD, 1984, 8,

in press.

N 4, 323 - 342.

AlAs

1984

Pasturel A, Tmanil, et al.

$\Delta_f H_f$

J. Phys. and Chem. Solids, 1984, 45, N 11-12,  
1151-1154.

(c.u. InSb; I)

ALAS

1984

Soma T., Kagaya H.-  
Matsuo.

page  
lecture  
gabriel

Solid State Commur,  
1984, 50, N1, 1011-1013.

● (see. ALP; I)

AlAs

1984

Soma T, Kagaya Mat-  
suo.

yp-nice  
coocur.

Solid State Commun.  
1984, 52(12), 1045 - 6.

(crys. AlP; I)

AlAs

1986

Kagaya Hiroko,  
Soma Toshinobu.

Cp; Bussei Kenkyu 1986,  
46(2), 139-45.

(c.u. AlP; I)

AlAs

1987

Kagaya H. M.,  
Soma T.

Phys. Status Solidi,

1987, B142, N2,  
411-416.

Gp:

(Cell. AlP; I)

AlAs

(OM 27462)

1987

Kagaya H.-I., Soma T.,

Cp. koss.  
meper.  
pickup.

Solid State Commun,  
1987, 62, N10, 707 -  
- 709.

(cii. AlP; T)

$\text{AlAsO}_4$

1988

1 Б2098. Кристаллическая структура  $\text{AlAsO}_4$  при  
20° С, 500° С и 750° С. Crystal structure of  $\text{AlAsO}_4$  at  
20° C, 500° C and 750° C / Baumgartner O., Behmer M.,  
Preisinger A. // Z. Kristallogr.— 1988.— 185, № 1—4.—  
C. 466.— Англ.

$T_{\text{c}2}$

V. 1990, N 1

*AlAsO<sub>4</sub>*

*1989*

8 Б2122. Кристаллическая структура AlAsO<sub>4</sub> при 20, 500 и 750° С. Die Kristallsstruktur von AlAsO<sub>4</sub> bei 20° C, 500° C und 750° C / Baumgartner O., Behmer M., Preisinger A. // Z. Kristallogr.— 1989.— 187, № 1—2.— С. 125—131.— Нем.; рез. англ.

Проведен РСТА ( $\lambda$  Mo, т-ры 20, 500, 750° С, 314, 315, 299 отражений,  $R_{20}$  0,011,  $R_{500}$  0,012,  $R_{750}$  0,018) AlAsO<sub>4</sub> (I), сверхструктура  $\alpha$ -кварца. Расстояния в тетраэдрич. группировках при 20, 500, 750° С: Al—O 1,744—1,746, 1,734—1,745, 1,726—1,751, As—O 1,666—1,668, 1,659—1,663, 1,649—1,659, Al—As 3,154—3,160, 3,170—3,172, 3,180—3,188 Å; углы OAO 106,7—111,4, 106,6—111,9, 107,2—112,1, OAsO 107,8—111,4, 108,7—110,2, 109,4—110,6, AlOAs 135,3—135,7, 137,0—138,4, 139,4—140,8°. Средн. углы отклонения тетраэдров от двойных осей уменьшаются с ростом т-ры до 750° С от 23,1 до 20°, что отличает I и GaPO<sub>4</sub> от AlPO<sub>4</sub> и  $\alpha$ -кварца, в структурах к-рых наблюдается резкое уменьшение этих углов уже при т-ре <500° С.

В. Б. К.

*кристал  
структур*

*X. 1990, № 8*

1989

(Al<sub>0.75</sub>As<sub>0.25</sub>)<sub>n</sub>

21 Б2031. Структура  $\text{Na}(\text{Al}_{1.5}\text{As}_{0.5})(\text{As}_2\text{O}_7)_2$ . Structure de  $\text{Na}(\text{Al}_{1.5}\text{As}_{0.5})(\text{As}_2\text{O}_7)_2$  / Driss A., Jouini T. // Acta crystallogr. C.—1989.—45, № 3.—C. 356—360.—Фр.; рез. англ.

Рентгенографически изучены ( $R = 0,038$  для 1102 отражений) кристаллы новой фазы  $\text{Na}(\text{Al}_{1.5}\text{As}_{0.5})(\text{As}_2\text{O}_7)_2$ , синтезированной в системе  $\text{Na}_2\text{O}-\text{As}_2\text{O}_5-\text{Al}_2\text{O}_3$ . Параметры трикл. решетки:  $a = 7,727$ ,  $b = 7,118$ ,  $c = 4,839 \text{ \AA}$ ,  $\alpha = 104,43^\circ$ ,  $\beta = 93,71^\circ$ ,  $\gamma = 90,07^\circ$ ,  $\rho$ (изм.) 4,02,  $Z = 1$ , ф. гр.  $P\bar{1}$ . Тетраэдры  $\text{AsO}_4$  ( $\text{As}-\text{O} = 1,649-1,745 \text{ \AA}$ ) соединяются вершинами в пары  $\text{As}_2\text{O}_7$ , связанные за счет общих вершин с октаэдрами  $(\text{Al}_{0.75}\text{As}_{0.25})\text{O}_6$  ( $\text{Al}, \text{As}-\text{O} = 1,821-1,906$ ) в трехмерный каркас, в к-ром м. б. выделены слои, параллельные плоскости (110). В каналах, пронизывающих структуру вдоль оси  $c$ , располагаются атомы Na в искаженной октаэдрич. координации ( $\text{Na}-\text{O} = 2,36-2,92$ ). В изученном соединении впервые отмечено изоморфное замещение Al на As.

С. В. Соболева

X. 1989, № 21

*AlAsO<sub>4</sub>*

(DM. 32201) CrAsO<sub>4</sub>

1989.

Касенов Б.Р., Уса-  
намова Р.Б.,

пакет  
перевод.  
cb-6

УЗб. АН Каз. ССР Сеп.  
Хим. 1989, N4, 85-87.

AlAsO<sub>4</sub>

1989

9 Б2135. Исследование AlAsO<sub>4</sub> в условиях высокого давления. Hochdruckstrukturuntersuchungen an AlAsO<sub>4</sub>: [Pap.] Ref. 28. Diskussionstag. Arbeitsgemeinsch. Kristallogr. Dtsch. Mineral. Ges., Dtsch. Phys. Ges. und Ges. Dtsch. Chem., Hannover, 1.—3. März. 1989 / Sowa H. // Z. Kristallogr.— 1989.— 186, № 1—4.— С. 280—281.— Нем.

Соединение AlAsO<sub>4</sub>, кристаллизующееся в обычных условиях в СТ низкотрнного кварца, при повышении давл. претерпевает фазовый переход, аналогичный переходу<sup>1</sup> в условиях высокого давл. SiO<sub>2</sub>, AlPO<sub>4</sub> и GeO<sub>2</sub> и сопровождающийся резким уменьшением параметров гексагон. решетки (при 0,0001 ГПа  $a$  5,030,  $c$  11,234 Å, при 5,0 ГПа  $a$  4,799,  $c$  11,003), что является следствием как сокращения тетраэдрич. связей, так и уменьшением мостиковых углов Al—O—As. С. В. Соболева

X.1990, № 9

AlAs Cl<sub>4</sub>O<sub>4</sub>

1989

112: 90220e AsI<sub>4</sub><sup>+</sup>AlCl<sub>4</sub>, the last missing tetrahaloarsonium ion. Tornieperth-Oetting, Inis; Klapetke, Thomas (Inst. Anorg. Anal. Chem., Tech. Univ. Berlin, D-1000 Berlin, 12 Fed. Rep. Ger.), *Angew. Chem.* 1989, 101(12), 1742-4 (Ger) [AsI<sub>4</sub>][AlCl<sub>4</sub>] (1) was prepd. at -78 to -95° from AsI<sub>3</sub>, ICl, and AlCl<sub>3</sub> and was characterized from its Raman spectrum. A Born-Haber cyclic anal. showed  $\Delta H = -7$  kJ mol<sup>-1</sup> for the reaction. 1 decompd. spontaneously at -78°. Photolysis of the same reaction mixt. at low temp. led to a violent explosion on warming.

memurck

recd by us

c.A. 1990, 112, N10

ALAs

1990

Itagaki R., Yamaguchi R.

$\mu - \mu_0$ , Thermochim. acta. 1990.

$G_p$  163, C. 1-12.

(c.c. ALN; I)

*AlAsO<sub>4</sub>*

*1991*

2 Б2040. Кристаллическая структура  $\text{AlAsO}_4$  при высоком давлении. The crystal structure of  $\text{AlAsO}_4$  at high pressure / Sowa H. // Z. Kristallogr.— 1991.— 194, № 3—4.— С. 291—304.— Англ.

Методом РСТА изучена структура  $\text{AlAsO}_4$  со СТ  $\alpha\text{-SiO}_2$  при нормальном давл. (I) и давл. 1,81 GPa (II), 2,99 GPa (III) и 4,87 ГПА (IV):  $\lambda\text{ Mo}$ , автодифрактометр, 426, 358, 351 и 373 отражений с  $F > 3\sigma(F)$ ;  $R$  2,61, 5,45, 5,26 и 6,20,  $R_w$  2,73, 4,92, 4,05 и 4,24;  $a$  5,028, 4,945, 4,873 и 4,800,  $c$  11,228, 11,135, 11,071 и 11,003 Å, соотв.; ф. гр.  $P3_21$  для I, II и

*Кристал-  
структур*

*X. 1992, № 2*

P3<sub>1</sub>21 для III, IV. Изменение I при увеличении давл. аналогично поведению структур  $\alpha$ -SiO<sub>2</sub>, GeO<sub>2</sub> и AlPO<sub>4</sub>: параметры решетки  $a$  и  $c$  уменьшаются, причем более сжимаем оказывается параметр  $c$ . Зависимость отношения  $c/a$  от давл.—линейная. С увеличением давл. межатомные расстояния и углы I—IV изменяются: (Al—O)<sub>ср</sub> 1,746—1,737, (O—O)<sub>ср</sub> 2,854—2,837, (As—O)<sub>ср</sub> 1,667—1,670, (O—O)<sub>ср</sub> 2,719—2,722 Å, AlOAs<sub>ср</sub> 135,2—127,6°. На основании анализа сдвига атомов из исходных положений в I, изменений межатомных расстояний, углов и конфигурации многогранников Дирихле атомов O делается вывод о том, что преобразование I с увеличением давл. идет, как и у структурных аналогов, в направлении формирования кубич. I-решетки. Сравнивается поведение I с увеличением давл. и с увеличением т-ры.

*Al As(k)*

*1994*

122: 223960b Thermodynamics of AlAs(s) vaporization by Knudsen-cell mass spectrometry. Shen, Jian Yun; Chatillon, Christian (Lab. Thermodynamique Physico-Chim. Metallurgiques, Domaine Univ., 38402 St. Martin d'Heres, Fr.). *High Temp. - High Pressures* 1994, 26(1), 79-92 (Eng). The vaporization of solid AlAs was studied with Knudsen-cell mass spectrometric techniques. The gaseous phase contained the As<sub>2</sub>, Al, As<sub>4</sub>, AlAs, and Al<sub>2</sub>O mols. The main vaporization reaction is: AlAs(s) = Al(g) + 1/2As<sub>2</sub>(g). The equil. const., K<sub>p</sub>, of this reaction in the temp. range 1100 to 1600 K varies according to the relation:  $1gk_p = 1g(p_{As_2}^{1/2} - 2p_{Al}/p_0^{3/2}) = 11.245 - 27704/T$ , where p<sub>i</sub> are partial pressures, T is temp. in K, and p<sub>0</sub> is the std. pressure. The enthalpy of formation of AlAs(s) compd. at 298.15 K was derived from third law calcns. to be  $-101.7 \pm 16.5$  kJ/mol and that of AlAs(g) is  $419.5 \pm 16.2$  kJ/mol. The vaporization is found not to be strictly congruent either in graphite or alumina cells because of the interaction of the sample with the cell as well as with the Al<sub>2</sub>O<sub>3</sub> impurity in the original sample.

*McC Clark  
Kefford.*

*Df H298*

*c. J. 1995, 122, N18*

AlAsO<sub>4</sub>

1994

17 Б229. Поведение AlAsO<sub>4</sub> и GaPO<sub>4</sub> под высоким давлением. High-pressure behaviour of AlAsO<sub>4</sub> and GaPO<sub>4</sub>. / Sowa H., Ahlsbahs H. // 15th Eur. Crystallogr. Meet. (ECM-15), Dresden, 28 Aug. — 2 Sept., 1994: Book Abstr. — Munchen, 1994. — С. 538. — Англ.

Соединения AlAsO<sub>4</sub> (I) и GaPO<sub>4</sub> (II) являются структурными аналогами кварца, который подвергается аморфизации при повышении давления. Поведение I и II исследовано при давлениях до 9.5 ГПа и 14 ГПа, соответственно, с помощью рентгеновской порошковой дифракции и поляризационной микроскопии. Найдено, что с повышением давления в I происходит фазовый переход, а II подвергается аморфизации. И. И. Бучинская

(Tz)

④ A



X. 1995, N 17

1998

$\text{AlF}_2\text{AsH}_3$ ,  $\text{AlCl}_2\text{AsH}_3$   
 $\text{AlBr}_2\text{AsH}_3$ ,  $\text{AlI}_2\text{AsH}_3$

Timoshkin A. Yu. et al.,

abilito Russ. J. Gen. Chem. 1998,  
каки<sup>и</sup> 68(7), 1085-1094  
стрикция

(ал.  $\text{AsF}_2$    $\text{NH}_3$ ; T)

F<sub>2</sub> Al NH<sub>2</sub><sup>2001</sup>  
Cl<sub>2</sub> Al NH<sub>2</sub>  
Br<sub>2</sub> Al NH<sub>2</sub>  
I<sub>2</sub> Al NH<sub>2</sub>  
Russ. J. Gen. Chem.  
2001, H(1), 8-14

CMP - PA  
NEMOZ  
Cl - ba

(all. ● F<sub>2</sub> Al NH<sub>2</sub>; I)